

انتخاب سبد سهام با استفاده از بهینه‌سازی گروه ذره‌ها

حیدر رضا گل مکانی (استاد یار)

۴۵، شاد فاضا، (کارشناس ادشید)

دانشکده‌ی مهندسی، صنایع، دانشگاه تهران

در این نوشتار الگوریتمی تکریبی بر مبنای روش «بهینه سازی گروه ذره ها» برای حل مدل توسعه یافته میانگین-واریانس انتخاب سبد سهام ارائه می شود. اغلب، برای تطبیق مدل اولیه میانگین-واریانس با دنیای واقعی، محدودیت های مختنی به آن افزوده می شود. در این نوشتار چهار نوع محدودیت، محدودیت کاردینالیتی (شامل محدودیت روی نسبت هر سهم در سبد و تعداد (نوع) سهم در سبد)، حداقل مقدار معامله و ارزش بخش لحاظ می شوند. با استفاده از سه گروه از داده های نمونه، نتایج اجرای الگوریتم جدید موسوم به CBIPSO¹ (ترکیب بهینه سازی گروه ذره های ارتقا یافته و دودویی) و یک الگوریتم ثنتیک، براساس چهار معیار، مورد مقایسه قرار می گیرند. معیارهای مورد ارزیابی عبارت اند از سرعت رسیدن به جواب، میانگین جواب های به دست آمده، بهترین جواب حاصل در چند اجرای متوالی الگوریتم و انحراف معیار جواب ها. همچنین تحلیل حساسیت عملکرد CBIPSO با تغییر پارامترهای مختلف در الگوریتم و مسئله بررسی می شود. نتایج تحقیق نشان می دهند که CBIPSO به طور کلی، و به ویژه وقتی که تعداد سهم های در دسترس و یا تعداد سهم در سبد زیاد می شود، بهتر از الگوریتم ثنتیک، عمل می کند.

وازگان کلیدی: انتخاب سبد سهام، حداقل مقدار معامله، محدودیت‌های کار دنیالیت، ارزش ریختن، بهمنه‌سازی گروه ذروهای.

golmakni@mie.utoronto.ca
mshdfazel@gmail.com

١. مقدمة

(بدون محدودیت) را با استفاده از الگوریتم ژنتیک حل کردند.^[۸] در پژوهشی دیگر الگوریتم ژنتیک برای حل مسئله‌ی مارکوویتس بدون درنظر گرفتن محدودیت‌های عملی رایج به کار نسبتند^[۹] و صرفه‌جویی زمانی حاصل را اثبات کردند. در سال ۱۹۹۶^[۱۰] با اتخاذ مدل مشابه مدل یاشیموتو^[۱۱] به حل این مدل با استفاده از جستجوی منع پرداختند. اقدام محققین در سال ۲۰۰۰ نقطه‌ی عطفی در حل مسئله‌ی مارکوویتس همراه با محدودیت‌های کاردینالیتی است.^[۱۲] آنها با ایجاد ناپیوستگی در مرز کارا درنتیجه‌ی اضافه شدن محدودیت‌های گستته (مانند محدودیت‌های کاردینالیتی) به مدل اشاره و مدل درجه دو حاصل را از نظر محاسباتی بررسی کردند. سپس، سه روش فرآیندکاری مبتنی بر الگوریتم ژنتیک، جستجوی منع و سردشن شیوه‌سازی شده فلزات برای حل مدل ارائه کردند. مدل مورد نظر آن‌ها همان مسئله‌ی برنامه‌ریزی درجه دو صحیح ترکیبی (MIQP)^۲ است که از ورود محدودیت‌های کاردینالیتی در مدل اولیه‌ی مارکوویتس حاصل می‌شود.

در سال ۲۰۰۰ یک الگوریتم رنگی و یک روش مبتنی بر جستجوی ممنوع برای حل مدلی با محدودیت‌های مختلف (شامل محدودیت‌های کاردهنایی و هزینه‌های معامله‌ی غیرخطی) پیشنهاد شد^[۱۲] و در کنار آن، ورود محدودیت‌های ممنوع دیگر در مدل -- از جمله محدودکردن سرمایه‌گذاری در بخش‌های مختلف -- برای تحقیقات آتی پیشنهاد شد.

علاوه بر تحقیقات یادشده، مطالعات وسیعی در حوزه‌ی مسئله‌ی تخصیص دارایی^۹، بتویزه مسئله‌ی مارکوویتس در تعریف ریسک و متدهای مختلف اندازه‌گیری آن صورت گرفته است که از آن جمله می‌توان به استفاده از روش‌های قابلیت اطمینان^{۱۰} در تحلیل عدم قطعیت^[۱۱] اشاره کرد.

الگوریتم بهینه‌سازی گروه ذره‌ها در بسیاری از مسائل بهینه‌سازی مورد استفاده قرار گرفته است. با استفاده از آزمون‌های متعدد، بین الگوریتم زنتیک، الگوریتم بهینه‌سازی گروه ذره‌ها و سه الگوریتم دیگر بر حسب معیارهای نزدیکی، کیفیت جواب و زمان پردازش، مقایسه‌ی صورت گرفته است^[۱۲] که نشان می‌دهد بهینه‌سازی گروه ذره‌ها از نظر نزدیکی و کیفیت جواب در رده‌ی نخست، و از نظر زمان در رده‌ی دوم قرار دارد. مقایسه‌ی دیگری نیز بین بهینه‌سازی گروه ذره‌ها و الگوریتم زنتیک انجام شده^[۱۳] که در مجموع، برتری الگوریتم بهینه‌سازی گروه ذره‌ها را نسبت به الگوریتم زنتیک نشان می‌دهد.

در این نوشتار چهار نوع محدودیت – محدودیت کاردینالیتی (شامل محدودیت روی نسبت هر سهم در سبد و تعداد یا نوع سهم در سبد)، کمترین مقدار معامله و ارزش بخش برای مسئلهٔ لحاظ، و الگوریتم فراابتکاری مبتنی بر الگوریتم بهینه‌سازی گروه ذره‌ها برای حل آن ارائه می‌شود و نتایج حاصل با نتایج اجرای الگوریتم زنتیک مقایسه خواهد شد. معیارهای مورد ارزیابی عبارت‌اند از: سرعت رسیدن به جواب، میانگین جواب‌های به دست آمده، بهترین جواب حاصل در چند اجرای متوالی الگوریتم، و انحراف معیار جواب‌ها. نتایج تحقیق نشان می‌دهند که کارایی الگوریتم پیشنهادی، به طور کلی – بتویزه وقتی تعداد سهم‌های در دسترس یا تعداد سهم در سبد زیاد می‌شود – در خصوص مجموعه‌ی اطلاعاتی مورد استفاده بیشتر از الگوریتم زنتیک است.

در ادامه، ابتدا در بخش ۲ مدل اولیه و مدل توسعه‌یافته ارائه خواهد شد و سپس در بخش ۳ روش بهینه‌سازی گروه ذره‌ها توضیح داده خواهد شد. در بخش ۴ به معرفی الگوریتم ابتكاری مبتنی بر بهینه‌سازی گروه ذره‌ها پرداخته شده است. بخش ۵ نیز به بررسی نتایج تجربی اختصاص دارد و در بخش ۶ نتیجه‌گیری کلی ارائه شده است.

۲. مدل انتخاب سبد سهام

مدل اولیه‌ی مارکوویتس عبارت است از^[۱۴]

$$\min \sigma_{R_p}^2 = \sigma_p^2 = \sum_{i=1}^N \sum_{j=1}^N w_i w_j Cov(\bar{R}_i, \bar{R}_j) \quad (1)$$

شرط بر این که:

$$\bar{R}_p = E(R_p) = \sum_{i=1}^N w_i \bar{R}_i \geq R \quad (2)$$

$$\sum_{i=1}^N w_i = 1 \quad (3)$$

$$w_i \geq 0, \quad \forall i \in \{1, 2, \dots, N\} \quad (4)$$

که در آن \bar{R}_i بازده مورد انتظار سهم i ، w_i نسبت سهم i در سبد، N تعداد سهم‌های در دسترس، R کمترین بازده قابل قبول سبد برای سرمایه‌گذار و $Cov(\bar{R}_i, \bar{R}_j)$ کواریانس بین بازده مورد انتظار سهم‌های i و j است. این مدل بیان می‌دارد که به ازاء کمترین مقداری از بازده، ریسک سرمایه‌گذاری باید کمینه شود.

در سال ۲۰۰۱ دو شیوه‌ی ابتکاری برای حل سه مدل به کار گرفته شد^[۱۵]: این مدل‌ها همان مدل مارکوویتس است که جداگانه با محدودیت‌های سطح خرید، کاردینالیتی و کمترین مقدار معامله لحاظ شده است. نتایج حاصل از بهارگیری این دو شیوه با نتایج حاصل از تحقیقاتی که به طرح مدل MIQP انجامید^[۱۶] مقایسه شد. در سال ۲۰۰۲ روش جستجوی ممنوع برای حل مسئله‌ی انتخاب سبد سهام به کار گرفته شد.^[۱۷] پیش از آن نیز با ترکیب مفاهیم سردشدن شبیه‌سازی شده‌ی فلزات و راهکارهای تکاملی و ابداع یک روش جستجوی محلی، نسبت به حل مدل مارکوویتس با محدودیت‌های کاردینالیتی اقدام شد.^[۱۸]

تحقیقین کارایی الگوریتم‌های زنتیک ابداع شده در گذشته (نظریر A و NSGA-II^[۱۹] در حل مدل مارکوویتس) را مورد بررسی قرار داده‌اند.^[۲۰] مدل مورد نظر آن‌ها محدودیت‌های کاردینالیتی را نیز شامل می‌شد.

در سال ۲۰۰۳ ابتدا مدلی در نظر گرفته شد که دارای محدودیت‌های کاردینالیتی، گردش^۲ شامل خرید و فروش (معادل با محدودیت هزینه‌ی معامله) و دادوستد^۵ (معادل با محدودیت کمینه مقدار معامله) است^[۲۱]. سپس این مدل به کمک روش سردشدن شبیه‌سازی شده‌ی فلزات حل شد.

در سال ۲۰۰۴، با استفاده از الگوریتم تکاملی چندمنظوره^۶ مسئله‌ی که فقط واجد محدودیت تعداد (نوع) سهم است، حل شد.^[۲۲] با بهره‌گیری از این الگوریتم تکاملی و چندمنظوره، نسبت به حل مسئله‌ی مارکوویتس با محدودیت‌های کاردینالیتی و کمترین مقدار معامله اقدام شد.^{[۲۳]-[۲۶]}

در سال ۲۰۰۵ مدل مارکوویتس با محدودیت‌های مختلف مورد بررسی قرار گرفت.^[۲۷] در این مطالعات، علاوه بر محدودیت‌های کاردینالیتی، محدودیت دیگری به نام محدودیت^۷ ۱۰-۵-۴۰ نیز بررسی، و در نهایت نتایج حاصل از مقایسه‌ی روش‌های حل ابتكاری و فراابتکاری پیشنهاد شده برای مدل‌های مورد نظر ارائه شد.

در سال ۲۰۰۶ تحقیقین برای انتخاب سید سهام ارزش بخش را مبنای قرار دادند و الگوریتم زنتیک خود را برای حل مسئله ارائه کردند.^[۲۸] البته، مسئله‌ی آن‌ها مدل مارکوویتس نبود، بلکه از روش تعقیب شاخص^۸ (مدل تک عاملی شارپ) استفاده کردند. در تحقیقی جدا، ضمن معرفی محدودیت ارزش بخش، یک الگوریتم زنتیک ابتكاری برای حل مدل حاصل پیشنهاد کردند.^{[۲۹]-[۳۰]} و نشان دادند که کارایی الگوریتم زنتیک ابتكاری پیشنهادی از روش‌های دیگر بیشتر است. در ادامه‌ی مطالعات آنان یک الگوریتم زنتیک وفقی برای حل مدل مارکوویتس با محدودیت نسبت هر سهم در سبد ارائه شد.^[۳۱]

در سال ۲۰۰۷، ششم مدل مبتنی بر مدل مارکوویتس که واجد محدودیت کمترین مقدار معامله بودند بررسی شد و الگوریتم زنتیک خاصی برای حل آن‌ها ارائه گردید.^[۳۲] در همین سال یک شبکه‌ی عصبی مصنوعی Hopfield برای حل مسئله‌ی مارکوویتس همراه با محدودیت‌های کاردینالیتی تشریح شد.^[۳۳] در سال ۲۰۰۷ برای نخستین بار گونه‌ی از الگوریتم بهینه‌سازی گروه ذره‌ها به منظور حل مسئله‌ی مارکوویتس مورد استفاده قرار گرفت.^[۳۴] این الگوریتم مسئله‌ی MIQP را شامل نمی‌شد زیرا، در آن محدودیت‌های کاردینالیتی (محدودیت تعداد یا نوع سهم) وجود نداشت. همچنین در این مدل کمترین مقدار معامله در نظر گرفته نشد و از این‌رو فضای جستجو در آن افزای اعداد حقیقی بود. در این مدل اگرچه هزینه‌ی معامله از جمله مالیات وارد شد و محدودیت نسبت هر سهم نیز در نظر گرفته شد، مسئله‌ی چندان پیچیده‌ی مطرح نبود.

در سال ۲۰۰۸ یک سیستم اینمنی مصنوعی برای حل مدل مارکوویتس همراه با محدودیت‌های کاردینالیتی (بدون در نظر گرفتن محدودیت‌های ارزش بخش) پیشنهاد،^[۳۵] و با سایر الگوریتم‌ها مقایسه شد.

به صورت بسته‌هایی با تعداد مشخص صورت می‌پذیرد. به عنوان مثال ضریبی از ۱۰۰ سهم یک شرکت را می‌توان خرید و فروش کرد. این محدودیت «کمترین مقدار معامله» نام دارد. برای واردکردن این محدودیت در مدل، متغیر c_i را تعریف می‌کنیم. متغیر x_i تعداد ها را تعیین می‌کند. در واقع، هدف ما در حل مسئله‌یافتن x_i ها درنتیجه؛ z های مناسب است. حاصل ضرب $x_i c_i$ مقدار بودجه‌ی سرمایه‌گذاری شده روی سهم i را مشخص می‌کند.

محدودیت‌های کاردینالیتی، اعمال محدودیت بر اندازه‌ی سبد (تعداد سهم‌های درون سبد) و نسبت هر سهم در سبد را شامل می‌شود. محدودیت نجاست با تعریف متغیر صفر و یک z برای هر سهم i ، همراه با محدودیت ۷ بیان می‌شود. یک کارکرد مهم این محدودیت محدودکردن هزینه‌ی معامله است زیرا، بر اثر محدودشدن تعداد سهم‌هایی که باید خریداری شوند، تعداد معاملات لازم نیز محدود می‌شود. همچنین، از اختصاص بودجه‌ی ناچیز به خرید تعداد زیادی سهم مختلف جلوگیری می‌شود. از طرفی، برای جلوگیری از اختصاص همه‌ی بودجه به یک یا چند سهم کم، این محدودیت به جای کوچک‌تر یا مساوی به صورت برابری تعریف می‌شود. متغیر z در رابطه‌های ۶، ۸، ۹ و ۱۲ وارد می‌شود تا فقط تعداد معینی (M) از کل (N) سهم در دسترس در محاسبات دخیل شوند.

در خصوص حد بالا (B_{Up_i}) و حد پایین (B_{Low_i}) بودجه‌ی قابل تخصیص به سهم i ، اگر محدودیت ۱۰ مثلاً به دلیل $B_{Up_i} \geq B$ برقرار نباشد، آنگاه این احتمال هست که در فرایند حل مسئله، همه‌ی بودجه فقط به یک سهم اختصاص باید که مطلوب نیست. حد های بالا و پایین سرمایه‌گذاری روی یک سهم از مطالعات تاریخی روی حجم معامله‌های صورت گرفته‌ی آن سهم قابل دست‌یابی است. درصورتی که چنین اطلاعاتی در دسترس نباشد، می‌توان حد بالا (B_{Up_i}) را با رابطه‌ی (قیمت سهم i)/ B) برابر قرار داد.^[۲۴]

طبعی است که بیشینه مقدار عبارت $\sum_{i=1}^N x_i c_i z_i$ با بودجه‌ی سرمایه‌گذار برابری کند. بنابراین، محدودیت بودجه طبق رابطه‌ی ۹ برقرار می‌شود. اگر این رابطه را به صورت $1 \leq \frac{\sum_{i=1}^N x_i c_i z_i}{B} \leq M$ بنویسیم، به ارتباط نزدیک آن با رابطه‌ی ۳ در مدل اولیه‌ی مارکوویتس بی می‌بریم.

در اینجا محدودیت ۲ به صورت رابطه‌ی ۸ بازنویسی شده است. سمت راست این رابطه نشان‌گر کمترین سود ریالی مورد انتظار از کل بودجه، و سمت چپ آن نشان‌دهنده‌ی سود حاصل از سرمایه‌گذاری در سبد است.

محدودیت دیگر، محدودیت ارزش ۱۲ است. براساس این محدودیت، در M سهم انتخاب شده از میان N سهم در دسترس، به شرکت‌های وابسته به بخش‌های دارای گردش مالی بیشتر، سرمایه‌ی بیشتری اختصاص داده می‌شود. در بازار سرمایه رده‌بندی ۱۳ های مختلفی روی شرکت‌های حاضر در بازار -- بهویژه براساس نوع فعالیت آنها -- صورت می‌پذیرد. این رده‌بندی‌های با عنوان‌های نظر صنعت، بخش ۱۴ و... بیان می‌شوند که از آن جمله می‌توان به صنعت نفت‌وگاز، خودرو، فولاد و... اشاره کرد. اگر ارزش و حجم معامله‌های انجام‌شده در یک رده بیشتر از رده‌های دیگر باشد، سهم‌های درون آن رده عملکرد بدتری خواهند داشت^[۲۵] و درنتیجه بهتر است سهم بیشتری از سرمایه به سهم‌های رده‌های با ارزش تراختصاص باید. البته ممکن است عملکرد یک شرکت در رده‌ی بالارزش بازار بذر از عملکرد شرکت‌های واقع در رده‌ی کم ارزش ترا باشد، مثلاً اگر فرض کنیم که ارزش معامله‌های سهام بخش شیمیایی و پتروشیمی بیش از بخش خودرو باشد، ممکن است عملکرد شرکت پتروشیمی «ش» از عملکرد همه‌ی شرکت‌های بخش خودرو بدتر باشد. از این رو، طبیعی است که سرمایه‌گذاری روی چنین شرکتی در اولویت قرار نگیرد. بنابراین، محدودیت ارزش بخش به جای آن که روی سهام N شرکت در دسترس

برآورده شدن کمینه بازده مورد انتظار سرمایه‌گذار به صورت محدودیت ۲ لحاظ شده است. رابطه‌ی ۳ بیان‌گر محدودیت بودجه است که طبق آن مجموع نسبت‌های سرمایه‌گذاری باید برابر با ۱ باشد و مفهوم آن اختصاص کل بودجه به سرمایه‌گذاری است. محدودیت ۴ نضمین می‌کند که نسبت‌های سرمایه‌گذاری عدددهای نامنفی باشند.

با افزودن محدودیت‌های کمترین مقدار معامله، کاردینالیتی و ارزش بخش به مدل تکامل‌یافته‌ی مورد نظر خود می‌رسیم که بیان آن چنین است:

$$\min \sigma_{R_p} = \sum_{i=1}^N \sum_{j=1}^N w_i w_j Cov(\bar{R}_i, \bar{R}_j) \quad (5)$$

که در آن:

$$w_i = \frac{x_i c_i z_i}{\sum_{j=1}^N x_j c_j z_j} \quad (6)$$

و

$$\sum_{i=1}^N z_i = M \leq N, \quad M, N \in \mathbb{N}, \quad \forall i = 1, \dots, N \quad z_i \in \{0, 1\} \quad (7)$$

به گونه‌ی که:

$$\sum_{i=1}^N x_i c_i z_i \bar{R}_i \geq BR \quad (8)$$

$$\sum_{i=1}^N x_i c_i z_i \leq B \quad (9)$$

$$0 \leq B_{Low_i} \leq x_i c_i \leq B_{Up_i} \leq B \quad (10)$$

$$\sum_{i_s} W_{i_s} \geq \sum_{i_{s'}} w_{i_{s'}}, \quad \forall y_s, y_{s'} \neq 0; \quad s, s' \in \{1, \dots, s\}, \quad s < s' \quad (11)$$

که در آن:

$$y_s = \begin{cases} 1 & \text{if } \sum_{i_s} z_i > 0 \\ 0 & \text{if } \sum_{i_s} z_i = 0 \end{cases} \quad (12)$$

و $i_s, i_{s'} \in \{1, \dots, N\}$.

متغیرها و ثابت‌هایی به کار رفته در رابطه‌های بالا عبارت‌اند از:
 B : بودجه‌ی قابل تخصیص i : حاصل ضرب قیمت سهم i ام در کمترین مقدار معامله: x_i : تعداد c_i ها (عدد صحیح): z_i : متغیر صفر و یک که بودن یا نبودن سهم i در سبد را تعیین می‌کند: M : تعداد سهم‌های مجاز در سبد = اندازه‌ی سبد؛ B_{Low_i} : کمینه بودجه‌ی قابل سرمایه‌گذاری روی سهم i ام: بیشینه بودجه‌ی قابل سرمایه‌گذاری روی سهم i ام: y_s : متغیر صفر و یک که انتخاب شدن تعداد کل بخش‌ها برای N شرکت (سهم): و w_i : اندیس سهمی که متعلق به بخش i ام است؛ \bar{R}_i : مجموع سهمی از بخش i ام را در سبد نشان می‌دهد. در بازار واقعی، خرید و فروش سهم‌ها به هر تعداد دلخواه ممکن نیست. مثلاً هرگز نمی‌توان ۲ سهم از سهام یک شرکت را معامله کرد بلکه، معامله‌ی سهم‌ها

غیرخطی از زمان (یا تکرار الگوریتم) باشد.^[۲۸] از نتیجه‌های تجربی چنین برمی‌آید که $w = ۰, c_۱ = ۱, ۴۹۶۱۸$ و $c_۲ = ۰, ۷۲۹۸$ همگرایی خوبی به دنبال دارد.^[۲۹]

۱.۳. بهینه‌سازی دودویی گروه ذره‌ها

بهینه‌سازی دودویی گروه ذره‌ها که در سال ۱۹۹۷ معرفی شد^[۳۰] حالتی است که در آن، فضای جستجو به فضای حالت‌های مختلف یک رشته‌ی بیتی اطلاق می‌شود که هر بیت آن یکی از دو حالت صفر یا ۱ را به خود می‌گیرد. رشته‌ی بیتی بردار موقعیت ذره را تشکیل می‌دهد و هر درایه‌ی بردار سرعت ذره، احتمال تغییر حالت درایه‌ی متناظر در بردار موقعیت را تعیین می‌کند. رابطه‌های بهنگام‌سازی سرعت و موقعیت در بهینه‌سازی دودویی گروه ذره‌ها عبارت‌اند از:

$$\begin{cases} v_{id}(t) = v_{id}(t-1) + c_۱ r_{i1}(p_{id} - x_{id}(t-1)) + \\ \quad c_۲ r_{i2}(p_{gd} - x_{id}(t-1)) \\ x_{id}(t) = \begin{cases} ۱ & \rho_{id} < \text{sig}(v_{id}(t)) \\ ۰ & \text{سایر موارد} \end{cases} \end{cases} \quad (۱۴)$$

که در آن، r_{i1} یک عدد تصادفی است که در بازه‌ی $[۰, ۱]$ تولید می‌شود.تابع $\text{sig}(v_{id})$ براساس رابطه‌ی ۱۵ محاسبه می‌شود:

$$\text{sig}(v_{id}) = \frac{1}{1 + \exp(-v_{id})} \quad (۱۵)$$

که در آن، $\exp(-v_{id})$ تابع نمایی است.

۲.۳. PSO و بهینه‌سازی مسئله‌های محدودیت‌دار

شکل کلی یکی از مسائل بهینه‌سازی محدودیت‌دار (مقید) را می‌توان چنین تعریف کرد:

$$\text{Min. or Max. } f(\vec{x}), \quad \vec{x} = (x_1, x_2, \dots, x_n) \in \mathbb{R}^n \quad (۱۶)$$

منوط به:

$$g_i(\vec{x}) \leq ۰, \quad i = ۱, ۲, \dots, p$$

$$h_j(\vec{x}) = ۰, \quad j = ۱, ۲, \dots, m$$

$$\text{که در آن‌ها: } x_i^l \leq x_i \leq x_i^u, \quad i = ۱, ۲, \dots, n$$

در این تعریف، f ، g_i ‌ها و h_j ‌ها تابع پیوسته و مشتق‌پذیرند.^[۳۱] معمول است که محدودیت‌های برابری را براساس رابطه‌ی ۱۷ به محدودیت نابرابری تبدیل کنند:

$$|h_j(\vec{x})| - \varepsilon \leq ۰ \quad (۱۷)$$

که در آن ε تولرنس مجاز (یک مقدار مثبت بسیار کوچک) است. محدودیت‌ها، فضای جستجو را به دو ناحیه‌ی ممکن (F) و ناممکن تقسیم می‌کنند.

در سال ۲۰۰۷ یک الگوریتم PSO ارقاء‌یافته (IPSO) معرفی شد که از یک عملکر جهش برای کاوش در ناحیه‌های مجزا در فضای جستجو و پیشگیری از گیرافتادن در بهینه‌های محلی بهره می‌برد.^[۲۲] این الگوریتم هم‌چنین با جمع‌کردن برخی افراد همسایه و نزدیک به هم، بهروشی جدید چند زیرمجموعیت می‌دهد.

اعمال شود، پس از انتخاب سهم‌ها (شرکت‌ها) روی سهام M شرکت انتخاب شده اعمال می‌شود. با این ترتیب شرکت پتروشیمی «ش» از اولویت انتخاب کنار گذاشته می‌شود. برای این کار متغیر صفر و یک «y» تعریف می‌شود. طبق رابطه‌ی ۱۲ این متغیر برای بخش s ام زمانی مقدار ۱ به خود می‌گیرد که دست‌کم یک سهم از آن بخش در سبد قرار گرفته باشد. در غیر این صورت مقدار آن صفر می‌شود.

این محدودیت در برخی از منابع عنوان «محدودیت رده»^[۱۵] گرفته، اما در مدل وارد نشده است.^[۱۱] این محدودیت برای نخستین بار در مدل انتخاب سبد سهام وارد شده و به کار گرفته شده است.^[۲۴] در اینجا برای بیان محدودیت ارزش از رابطه‌ی ۱۱ استفاده می‌شود که از دیگر رابطه‌های به کار گرفته شده در دیگر مطالعات^[۲۴] دقیق‌تر است. همچون دیگر مطالعات، فرض می‌شود که بخش ۱ با ارزش‌ترین و بخش s ام کارزار سهم‌های انتخابی از بخش s ام، از مجموع ارزش‌های بازار سهم‌های انتخابی از بخش s ام بیشتر است.

۳. بهینه‌سازی گروه ذره‌ها

بهینه‌سازی گروه ذره‌ها (PSO)، یک الگوریتم بهینه‌سازی است^[۳۷-۳۵] که در آن ذره‌ها و به عبارت دقیق‌تر موقعیت^[۱۷] آن‌ها جواب‌های بالقوه‌ی هستند که در فضای جستجو به پرواز درمی‌آیند و تا رسیدن به یک معیار مشخص، با محاسبه‌ی یک رابطه‌ی تناسب به دنبال بهترین مقدار تابع هدف می‌گردند. بنابراین، ابتدا جمعیتی از ذره‌ها یا موقعیت‌های اولیه تشکیل می‌شود. سپس طبق رابطه‌های خاص و در گام‌های زمانی پیاپی، در فضای جستجو به گردش درمی‌آیند. در طی مسیر پرواز «بهترین شخصی (pbest)^[۱۸]» هر ذره، که عبارت است از بهترین مقدار تابع هدف به دست آمده برای آن ذره و بردار موقعیت آن، ثبت می‌شود. همچنین در هر گام، «بهترین کلی (gbest)^[۱۹]» بهترین مقدار از میان بهترین‌های شخصی همه‌ی ذره‌ها و بردار موقعیت آن – ثبت می‌شود. در هر گام t ، درایه‌ی d ام از بردار سرعت یا فاصله‌ی جابه‌جایی $((v_{i1}, v_{i2}, \dots, v_{iD}) = (v_i(t), \vec{v}_i))$ و بردار موقعیت $((x_{i1}, x_{i2}, \dots, x_{iD}) = (x_i(t), \vec{x}_i))$ ذره‌ی i ام در فضای جستجو، طبق فرمول‌های بازنگشتنی زیر بهنگام می‌شود.

$$\begin{cases} v_{id}(t) = v_{id}(t-1) + c_۱ r_{i1}(p_{id} - x_{id}(t-1)) + \\ \quad c_۲ r_{i2}(p_{gd} - x_{id}(t-1)) \\ x_{id}(t) = x_{id}(t-1) + v_{id}(t) \end{cases} \quad (۱۳)$$

در این رابطه‌ها، $c_۱$ و $c_۲$ عده‌های معمولاً ثابت‌اند و «ضریب شتاب» خوانده می‌شوند؛ r_{i1} و r_{i2} عده‌های تصادفی اند که در بازه‌ی $[۰, ۱]$ با توزیع یکنواخت تولید می‌شوند؛ p_{id} درایه‌ی d ام از بردار بهترین شخصی ذره‌ی i (یعنی $p_i = (p_{i1}, p_{i2}, \dots, p_{iD})$) و p_{gd} درایه‌ی d ام از بردار بهترین کلی (($p_g = (p_{g1}, p_{g2}, \dots, p_{gD})$) است. برای کنترل سرعت ذره‌ها در فضای جستجو، از دو پارامتر V_{\max} و وزن ماند (w) استفاده می‌شود.^[۳۸-۳۷] هر درایه‌ی بردار سرعت $((v_{id}(t))$ پس از محاسبه، محدود به بازه‌ی $[-V_{\max}, V_{\max}]$ می‌شود. وزن ماند (w) در فرمول ۱۳، در جمله‌ی (۱) $v_{id}(t-\varepsilon)$ ضرب می‌شود. نقش w ایجاد تعادل میان جستجوی کلی و جستجوی محلی است. w می‌تواند یک عدد مثبت ثابت یا تابعی خطی یا

باقی مانده‌ی ذره‌ها (مثل ذرهی ت در شکل ۱)، از بهترین p_{best} کنونی در کل جمعیت (gbest) استفاده می‌کنند.^[۲۲]

همچنین یک نزخ جهش پویا به PSO اضافه شده است^[۲۳] که موقعیت و سرعت ذره‌ها را هم زمان تغییر می‌دهد. وقتی که الگوریتم اجرا می‌شود، عملگر جهش (موقعیت و سرعت) ذره‌ها را برهم می‌زند و چنانچه نزخ جهش خیلی زیاد باشد، بر جست‌وجو برای نقطه‌ی بهینه تأثیر می‌گذارد. بنابراین، باید تعداد ذره‌های جهش باقی کاوش یابند. نزخ جهش مورد استفاده عبارت است از:

$$temp = gen / \max_ge \quad (۱۹)$$

$$p_{mutation} = 2(1 - temp)^r / var_num \quad (۲۰)$$

که در آن gen شماره‌ی تکرار کنونی الگوریتم، \max_gen تعداد کل تکرارها و $p_{mutation}$ احتمال جهش یافتن موقعیت و سرعت ذره است. متغیر موقت $temp$ با افزایش تعداد تکرارها حین اجرای الگوریتم بزرگ‌تر می‌شود و درنتیجه کاوش می‌باید تا از برهم خوردن ذره‌ها در تکرارهای آخر بکاهد. جهش برای ذره‌ی نام چنین بیان می‌شود:

$$v_{id} = \theta * v_{id} * 2 * random \quad (۲۱)$$

$$x_{id} = x_{id} + v_{id}, \quad d = 1, 2, \dots, D \quad (۲۲)$$

که در آن $\{\dots, -1, 0, 1, \dots\}^{\theta}$ جهت تولیدشده به طور تصادفی و $random$ عددی تصادفی در بازه‌ی $(0, 1)$ است. بعد از x_{id} موقعیت ذره‌ی i است.

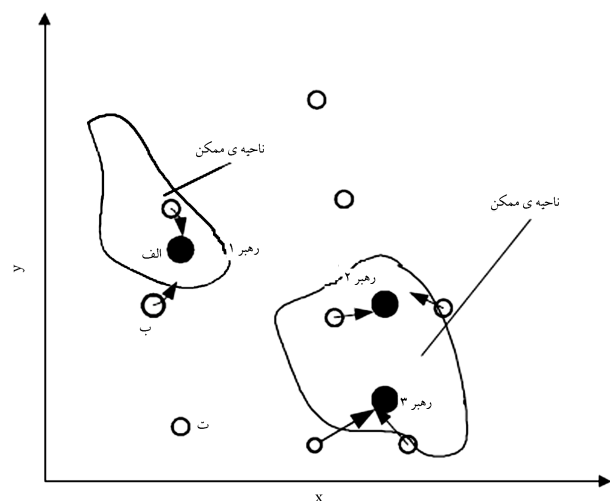
برای لحاظ کردن محدودیت‌ها ابتدا طبق رابطه‌ی ۱۷ محدودیت‌های برابری به نابرابری تبدیل می‌شوند. در اینجا نیز به شیوه‌ی برخی از محققین^[۲۴] در محاسبه‌ی تناسب ازتابع جریمه استفاده شده که فاصله‌ی نسبی موقعیت ذره‌ها از یکدیگر و از ناحیه‌ی ممکن، یعنی درجه‌ی هم‌جواری ذره نسبت به مرز محدودیت را در نظر دارد. مقدار تابع تناسب ذره $F_{fit}(t)$ از رابطه‌ی ۱۸ محاسبه می‌شود:

$$F_{fit} = \begin{cases} f(\vec{x}), & \vec{x} \in F \\ \max(g_i(\vec{x}), (|h_j(\vec{x})| - \varepsilon)) + \mathcal{N}, & \vec{x} \notin F \end{cases} \quad (۱۸)$$

$$i = 1, 2, \dots, p; \quad j = 1, 2, \dots, m$$

که در آن \mathcal{N} یک مقدار مثبت بزرگ است. برخلاف PSO اصلی، در الگوریتم IPSO جمعیت به تعدادی زیرجمعیت تقسیم می‌شود. ذره‌ها در هر زیرجمعیت مقدار gbest (بهترین کلی) خود را از مقدار p_{best} (بهترین شخصی) ذره‌ی رهبر زیرجمعیت 2 دریافت می‌کنند. در اینجا همسایگی‌ها و ذره‌های همسایه لزوماً ثابت نیستند. یکی از زیرجمعیت‌ها مقدار gbest را ثبت می‌کند و ذره‌ی رهبر در جمعیت کنونی دارای بهترین p_{best} باشد به عنوان رهبر زیرجمعیت انتخاب می‌کند.^[۲۵] سپس، براساس فاصله‌ی اقلیدسی در فضای جست‌وجو، ذره‌های نزدیک به رهبر زیرجمعیت با هم زیرجمعیتی را تشکیل می‌دهند که در محاسبه‌ی موقعیت بعدی p_{best} ذره‌ی رهبر را در فرمول سرعت خود به کار می‌گیرد. برای تشکیل زیرجمعیت بعدی، ابتدا زیرجمعیت قبلی از جمعیت حذف می‌شود؛ سپس با رهبر قراردادن ذره‌ی رهبری که بهترین p_{best} را در جمعیت باقی مانده دارد و تعیین همسایه‌های نزدیک به او زیرجمعیت بعدی تشکیل می‌شود و به همین ترتیب همه‌ی زیرجمعیت‌ها شکل می‌گیرند (شکل ۱).

در شکل ۱ ذره‌ی الف بهترین مقدار p_{best} (بهترین شخصی) را دارد و بنا براین به عنوان رهبر یک زیرجمعیت انتخاب می‌شود. ذره‌ی نزدیک به ذره‌ی الف (مثلاً ذره‌ی ب) ذره‌ی الف را به عنوان مرکز و هسته در نظر می‌گیرد و به سوی آن پرواز می‌کند. این ذره‌ها (شامل ذره‌ی الف) زیرجمعیت ۱ را تشکیل می‌دهند که ذره‌ها را برای جست‌وجو در ناحیه‌ی ممکن سمت چپ بالا هدایت می‌کند. رهبرهای ۲ و ۳ به ترتیب زیرجمعیت‌های ۲ و ۳ را برای جست‌وجو در ناحیه‌ی ممکن راست پایین رهبری می‌کنند. وقتی که تعداد زیرجمعیت‌ها به حد از پیش تعیین شده می‌رسد،



شکل ۱. تشکیل زیرجمعیت‌ها برای الگوریتم IPSO.^[۲۶]

۴. الگوریتم پیشنهادی: ترکیب بهینه‌سازی گروه ذره‌های اصلاح شده و دودویی (CBIPSO)^[۲۷]

الگوریتم پیشنهادی مبتنی بر دو قسمت مجزا و مرتبط است: قسمتی که در خصوص انتخاب M سهم از N سهم در دسترس عمل می‌کند و قسمتی که برای یک ترکیب M سهمی تعیین شده در هر تکرار در فضای (عددهای) صحیح به دنبال نسبت‌های سرمایه‌گذاری بهینه است. براین اساس، هر ذره دارای دو بردار موقعیت هم‌طول است که یکی از آن‌ها بردار موقعیت ذره در فضای دودویی صفر و یک است (z_d ها) و تصمیم‌گیری در خصوص انتخاب M سهم از N سهم در دسترس را نشان می‌دهد؛ بردار دیگر، بردار موقعیت ذره در فضای صحیح است که برمبنای انتخاب‌های صورت‌گرفته در بردار موقعیت دودویی (درایه‌های متناظر) که مقدار ۱ می‌گیرند) به هنگام می‌شود (x_d). این بردار نسبت‌های سرمایه‌گذاری را تعیین می‌کند. در این الگوریتم، دو بردار موقعیت گفته شده، در کنار هم به تشکیل بردار سطري موقعیت ذره می‌انجامند (شکل ۲).

همچنین بردار سطري سرعت ذره نیز از دو قسمت تشکیل می‌شود (شکل ۳). قسمت اول تعیین‌کننده سرعت ذره در فضای تصمیم‌گیری دودویی است و شامل عده‌های حقیقی در بازه‌ی $V_{max}B_d, V_{max}B_d, V_{max}B_d$ است. عبارت $V_{max}B_d$ نشان‌گر پارامتر V_{max} برای بعد (سهم) d در قسمت دودویی است. قسمت دوم، سرعت ذره را در فضای صحیح نشان می‌دهد و درایه‌های آن از عده‌های صحیحی در بازه‌ی $(-V_{max}I_d, V_{max}I_d)$ تشکیل می‌شود. پارامتر $V_{max}I_d$ برای بعد (سهم) d در قسمت صحیح است. به هنگام سازی دو قسمت صحیح و دودویی، جداگانه و به ترتیب طبق روش‌های IPSO اصلاح شده و بهینه‌سازی دودویی گروه ذره‌ها، که پیش‌تر توضیح داده شد، صورت می‌پذیرد.

در حلقه‌ی بهنگام‌سازی سرعت و موقعیت ذره‌ها، شرط توقف این است که تعداد موقعیت‌های ممکن بیشینه شود یا تعداد تکرار از ده برابر بیشینه موقعیت‌های ممکن بگذرد. مقدار تناسب برای هر ذره محاسبه می‌شود. اگر ذره در ناحیه‌ی ممکن باشد، تناسب ذره طبق رابطه‌ی ۲۳ محاسبه می‌شود:

$$F_{fit} = f(\vec{X}^*) + 0.9 * \left(1 - \frac{\sum_{d=1}^N x_d z_d c_d}{B}\right) \quad (23)$$

که در آن:

$$\vec{X}^* = \vec{x} \otimes \vec{z} = (x_1 z_1, \dots, x_d z_d) \quad (24)$$

\vec{X}^* حاصل ضرب نقطه‌ی بردار \vec{x} (قسمت صحیح موقعیت ذره) و بردار \vec{z} (قسمت دودویی موقعیت ذره) است. رابطه‌ی ۲۳ در مقایسه با رابطه‌ی ۱۸ دارای یک قسمت اضافی است. در اینجا، این قسمت به اقتضای مسئله‌ی فرمول تناسب اضافه شده است تا ضمن کمینه‌شدن تابع هدف، رابطه‌ی ۹ (حدودیت بودجه) نیز به سمت تساوی بگراید. همراه با محاسبه‌ی تناسب، شمارنده‌ی تعداد موقعیت‌های ممکن یکی افزایش می‌یابد.

اگر موقعیت ذره در ناحیه‌ی ممکن نباشد، براساس رابطه‌ی ۱۸ تناسب ذره مطابق زیر تعیین می‌شود. برای تعیین میزان انحراف از محدودیت ۱۱ داریم:

$$\Delta_{ss'}^- = \begin{cases} \sum_{d_{s'}} w_{d_{s'}} - \sum_{d_s} w_{d_{s'}}, \sum_{d_{s'}} w_{d_{s'}} > \sum_{d_s} w_{d_s} \\ \dots \\ o.w. \\ y_s, y_{s'} \neq 0, s' > s \end{cases} \quad (25)$$

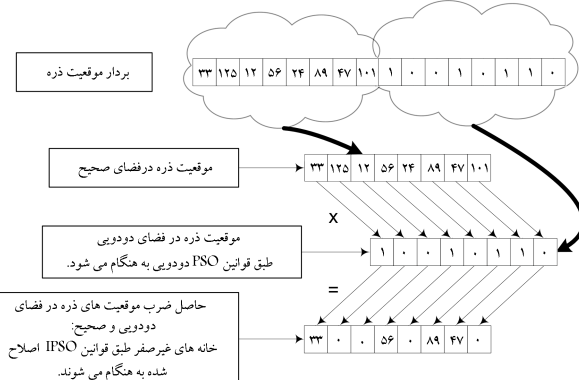
که در آن، s' شماره‌ی اولین بخش بعد از بخش s است که برابر آن $0 \neq y_{s'}$. مقدار از رابطه‌ی ۱۲ به دست می‌آید اما، برای هر s و s' متولی که $0 \neq y_s, y_{s'}$ داریم:

$$\Delta_s^- = \sum_{s, s'} \Delta_{s, s'}^- \quad (26)$$

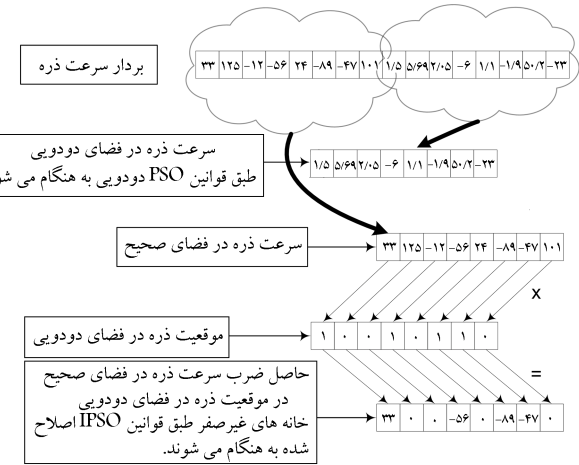
به دست آوردن میزان عدول از سایر محدودیت‌ها کار آسانی است؛ بنابراین، تناسب برابر است با:

$$F_{fit} = \max \left[\left(B - \sum_{d=1}^N x_d z_d c_d \right), \left(BR - \sum_{d=1}^N x_d z_d c_d \bar{R}_d \right), \left| \sum_{d=1}^N z_d - M \right|, \Delta_s^- \right] + \mathcal{N} \quad (27)$$

که در آن \mathcal{N} یک عدد بزرگ است و سایر متغیرها مطابق رابطه‌های ۷ تا ۹ هستند. پس از محاسبه‌ی تناسب، بهترین‌های شخصی ذره‌ها در مقایسه با تناسب‌شان بهنگام می‌شوند؛ به این صورت که اگر مقدار تناسب ذره‌ی از بهترین‌های شخصی اش کمتر باشد، مقدار تناسب جایگزین بهترین شخصی می‌شود. در این صورت، موقعیت کنونی ذره نیز به عنوان موقعیت بهترین شخصی ثبت می‌شود. کمترین مقدار بین مقدارهای تناسب ذره‌ها و بهترین کلی کنونی، به عنوان بهترین کلی جدید ثبت می‌شود. سپس، اگر بهترین کلی با کمترین مقدار تناسب‌ها برابر باشد، موقعیت بهترین کلی با موقعیت ذره‌ی که کمترین تناسب را دارد برابر می‌شود. در هر تکرار، تعداد رهبران زیرمجموعه‌ی ها به طور پویا براساس تعداد ذره‌های واقع در ناحیه‌ی ممکن تعیین می‌شود. اگر هیچ ذره‌ی ممکنی در آن تکرار وجود نداشته



شکل ۲. بردار موقعیت ذره در الگوریتم CBIPSO و اجزای آن. در این شکل، تعداد کل سهم‌های در دسترس (N) ۸ و اندازه‌ی سبد (M) ۴ است.



شکل ۳. بردار سرعت ذره در الگوریتم CBIPSO و اجزای آن.

برای قسمت صحیح، موقعیت ذره‌ها با عدددهای صحیح تصادفی بین حد پایین B_{Upd} و حد بالا $Ibd_d = \frac{B_{Upd}}{c_d}$ (حد بالا) مقداردهی اولیه می‌شوند. سرعت نیز با عدددهای تصادفی صحیح در بازه‌ی $(-V_{max} I_d, V_{max} I_d)$ (حد بالا) مقداردهی اولیه می‌شود. از قراردادن $V_{max} = X_{max}$ در هر بعد، نتایج بهتری به دست می‌آید.^[۲۴] کران بالای فضای جستجو در هر بعد است، و بنابراین می‌تواند برابر هر بعد عددی متفاوت باشد. $V_{max} I$ ، به صورت یک بردار N تایی در نظر گرفته می‌شود که مقدار هر درایه‌ی d آن ضریبی از $(ubdd_d - lbd_d)$ است.

برای قسمت دودویی، هر بردار سطیع موقعیت از جایگشت تصادفی عدد 1 و $N - M$ عدد صفر تشکیل می‌شود. درایه‌های بردارهای اولیه سرعت عدددهایی حقیقی اند که به طور تصادفی از بازه‌ی $[1, N - 1]$ انتخاب می‌شوند. برای افزایش سرعت الگوریتم، مقدار بهترین کلی و بهترین‌های شخصی اولیه ذره‌ها با یک عدد نسبتاً بزرگ برابر می‌شود. این عدد بزرگ (\mathcal{N})، در اینجا برابر با مقدار کل بودجه‌ی قابل تخصیص (B) است. وقتی که مقدار بهترین‌های شخصی اولیه عدد بزرگی باشد، احتمال تغییر آن‌ها در نخستین محاسبه‌ی تناسب برابر هر ذره بالا می‌رود. درنتیجه، ذره‌هایی که فاصله‌ی نزدیکتری به ناحیه‌ی ممکن دارند شناسنی پیشتری برای رهبری زیرمجموعه‌ی ها خواهند داشت. اگر بهترین کلی اولیه نیز زیاد باشد، پس از محاسبه‌ی تناسب ذره‌ها و بهنگام کردن بهترین‌های شخصی آن‌ها، فقط ذره‌هایی که محدودیت‌ها را ارضاء نکنند حق تعیین بهترین کلی را خواهند داشت.

موقعيت‌های ممکن به حد معین قرار داده شده است. در اینجا، $W_{\max} = 1,0,5$ و $W_{\min} = 0,4,0$ انتخاب شده‌اند.^[۲۸] مشابه همین شیوه برای تعیین نز جهش در پیش گرفته شده است:

$$p_{mutation} = 0,25 \left(1 - \frac{\text{No of Feasible Positions}}{\text{Max Feasible Positions}} \right) \quad (۳۰)$$

در اینجا نیز اگرچه نز جهش با اجرای الگوریتم کاهش می‌باید، معذلک این کاهش خطی نیست. این موضوع وجه تمایز دیگری در روش پیشنهادی در مقایسه با روش پیشین می‌باشد. (رابطه‌ی ۲۰ را ملاحظه فرمایید).

در بهنگام‌سازی سرعت برای قسمت دودویی و صحیح، مقدار ضریب‌های شتاب c_1 و c_2 براساس بخش ۳ معادل $1/496$ فرض شده‌اند.

نخست قسمت دودویی سرعت و موقعيت ذره‌ها بهنگام می‌شود. بهنگام‌سازی براساس رابطه‌ی ۱۴ انجام می‌شود با این تفاوت که به جای استفاده از موقعيت بهترین کلی، از موقعيت بهترین شخصی رهبر زیرجمعیت استفاده می‌شود، یعنی p_{id} جایگزین p_{gd} می‌شود. ۲۱ و ۲۲ برای هر ذره و هر بعد، از بازه‌ی بسته‌ی [۱, ۰] به طور تصادفی مقدار دهی می‌شوند. پس از بهنگام‌سازی سرعت، سرعت جدید در هر بعد با حد بالای سرعت $V_{\max B_d}$ مقایسه می‌شود تا فراتر از آن قرار نگیرد. سپس، بهنگام‌سازی موقعيت صورت می‌گیرد.

برای هر ذره اگر همه‌ی شرط‌های زیر برقرار باشند، با احتمالی که نز جهش تعیین می‌کند، جهش روی موقعيت دودویی اعمال می‌شود.

- اندازه‌ی سبد کمتر از سهم‌های در دسترس باشد ($N < M$) و درنتیجه: $\exists d \in \{1, 2, \dots, N\}; z_d = 0$

- دست کم یک بیت (بعد) از موقعيت دودویی ذره ۱ باشد:

- تعداد بیت‌های (بعدهای) ۱ موقعيت دودویی ذره کوچک‌تر یا مساوی اندازه‌ی سبد (M) باشد.

برای جهش دادن قسمت دودویی ابتدا بعدی از موقعيت دودویی به طور تصادفی انتخاب می‌شود و اگر مقدار آن ۱ بود به صفر تغییر داده می‌شود. اگر مقدار بیت ۰ بود مجدداً بیت دیگری تصادفاً انتخاب می‌شود و این روند تا آنجا ادامه می‌باید که یک بیت ۱ پیدا شود. پس از این مرحله، در میان بقیه‌ی بیت‌ها جست‌وجوی تصادفی برای یافتن بیتی که باشد انجام می‌شود تا مقدار آن به ۱ تبدیل شود.

برای هر ذره، بهنگام‌سازی قسمت صحیح در بعدهایی انجام می‌شود که مقدار بیت (بعد) دودویی نظیر آن‌ها در قسمت دودویی برابر با ۱ باشد. به عبارت دیگر،

نسبت سرمایگذاری سهمی تغییر داده می‌شود که برای سبد انتخاب شده باشد. این کار ضمن آن که منطقی به نظر می‌رسد، مقدار قابل توجهی از حجم محاسبات می‌کاهد. ضریب‌های شتاب به طور تصادفی از بازه‌ی [۱/۵, ۵/۱] انتخاب می‌شوند.^[۲۹] با توجه به آن که حاصل ضرب x_{dcd} تعیین‌کننده‌ی نسبت دارایی d در سبد است (رابطه‌ی ۶) و نیز c_d ‌ها با هم متفاوت‌اند، تأثیر ناشی از یک واحد تغییر x_d در w_d با تأثیر ناشی از یک واحد تغییر x_j در w_j (که $j \neq d$) متفاوت است. از این رو برای نرمال‌سازی تأثیر جست‌وجو در بعدهای مختلف فضا از یک ضریب نرمال‌سازی برای هر بعد از موقعيت قسمت صحیح استفاده می‌کنیم که از رابطه‌ی ۳۱ به دست می‌آید.

$$n_d = (\max\{c_d | d = 1, 2, \dots, N\}) / c_d \quad (۳۱)$$

در بهنگام‌سازی سرعت، این ضریب در وزن ماند ضرب می‌شود. بنابراین، فرمول

باشد، تعداد رهبران زیرجمعیت‌ها برابر با ۱ منظور می‌شود. از سوی دیگر، سقفی برای این تعداد لحاظ می‌شود (مثلًا ۱۵): اگر تعداد ذره‌های ممکن از این سقف بالاتر باشد، تعداد رهبران با مقدار سقف مساوی می‌شود. تعداد رهبران که برابر با بیشترین تعداد زیرجمعیت‌هاست براساس فرمول ۲۸ به دست می‌آید و مختص این تحقیق است:

$$\text{Max No of Sub Pops} =$$

$$\begin{cases} \min(\text{No of feasible particles}, cte) & \exists \vec{x}_i \in F \\ 1 & \#\vec{x}_i \in F \end{cases} \quad (۲۸)$$

که در آن، F ناحیه‌ی ممکن است. در این تحقیق، ثابت cte برابر با ۱۰ فرض می‌شود.

روشی که در این نوشتار برای تشکیل زیرجمعیت‌ها در پیش گرفته شده است با روش‌های پیشین^[۲۱] تفاوت دارد. در این روش، ابتدا ذره‌ها براساس بهترین شخصی‌شان — از بهترین تا بدترین — مرتب می‌شوند. سپس از بهترین ذره شروع کرده و به تعداد معلوم ذره‌های رهبر تعیین و از جمعیت جدا می‌شوند. آنگاه، از میان باقی‌مانده‌ی جمعیت و براساس معیارهای فاصله‌ی اقلیدسی و فاصله‌ی همینگ برای هر رهبر عضوگیری و زیرجمعیت‌ها تشکیل می‌شوند. روش پیشین^[۲۲] باعث می‌شود که اگر چند ذره‌ی نزدیک به هم — در مقایسه با ذره‌های دیگر — مقدار تناسب خیلی خوبی در جمعیت داشته باشند، همگی اعضای یک زیرجمعیت شوند و زیرجمعیت‌های دیگر رهبری ضعیفی داشته باشند، و عملأ تأییر جست‌وجوی دیگر زیرجمعیت‌ها در سرعت دست‌یابی به پاسخ بهینه به کمترین حد برسد. اما روش جدید می‌تواند این نقیصه را برطرف سازد. مقایسه‌ی عملی این دو روش با هم نشان می‌دهد که روش جدید عملکرد و نتیجه‌ی بهتری داشته است.

فاصله‌ی اقلیدسی ذره‌ها از رهبر در فضای جست‌وجوی صحیح، با یک شاعع همسایگی سنجیده می‌شود. ذره‌هایی که درون شاعع همسایگی رهبر قرار می‌گیرند، با او تشکیل زیرجمعیت می‌دهند. علاوه بر فاصله‌ی اقلیدسی، معیار دیگری نیز برای عضویت در زیرجمعیت یک رهبر قرار داده شده است و آن فاصله‌ی همینگ موقعيت دودویی ذره با موقعيت دودویی رهبر است که باید از یک مقدار معین کمتر باشد. ذره‌های هر زیرجمعیت، از جمله رهبر آن، از موقعيت بهترین شخصی رهبر به عنوان بهترین کلی محلی در فرمول بهنگام‌سازی سرعت استفاده می‌کنند. وزن ماند (w) در هر تکرار به طور نزولی تغییر می‌کند. روش محاسبه‌ی وزن ماند چنین است:

$$w = w_{\max} - \frac{\text{No of Feasible Positions}}{\text{Max Feasible Positions}} \times (w_{\max} - w_{\min}) \quad (۲۹)$$

که در آن، $No of Feasible Positions$ شمارنده‌ی تعداد موقعيت‌های ممکن تاکنون و $Max Feasible Positions$ بیشینه موقعيت‌های ممکن است. چون در هر تکرار، ممکن است تعداد موقعيت‌های احتمالی متفاوت باشد، طبق رابطه‌ی ۲۹ وزن ماند به طور خطی کاهش نمی‌باید. دلیل این که در رابطه‌ی ۲۹ تعداد موقعيت‌های ممکن به جای تعداد تکرار به کار برده شده این است که تعداد موقعيت‌های ممکن معیاری برای حرکت مؤثر به سمت بهینه‌سازی است، در حالی که موقعيت‌های ناممکن یا به عبارتی موقعيت‌هایی که در محدودیت‌ها صدق نمی‌کنند عملأ نقش مهمی در پیشیرد مسئله‌ندازند. در تکراری که فاقد هرگونه موقعيت ممکنی است نباید وزن ماند تغییر کند. بهمین دلیل است که شرط پایان حلقه‌ی تکرار نیز رسیدن تعداد

۱۷. جهش را با احتمال نز جهش مرحله‌ی ۱۵، روی موقعیت دودویی اعمال کن؛
۱۸. سرعت صحیح را براساس رابطه‌ی ۲۲ و موقعیت صحیح را طبق ۱۳ حساب کن؛
۱۹. جهش را با احتمال نز جهش مرحله‌ی ۱۵، روی موقعیت صحیح اعمال کن؛
۲۰. شمارنده‌ی تعداد تکرار را یکی افزایش بده؛
۲۱. اگر شمارنده‌ی تعداد موقعیت‌های ممکن کم‌تر از بیشینه‌ی تعیین شده است، و تعداد تکرار کم‌تر از ده برابر بیشینه تعداد موقعیت‌های ممکن است، به مرحله‌ی ۶ برو؛
۲۲. بهترین کلی را به عنوان کم‌ترین ریسک به دست آمده و موقعیت بهترین کلی را به عنوان جواب مسئله‌نمایش بده.

۵. نتایج تجربی

۱.۵. سنجش اعتبار و کارایی الگوریتم CBIPSO

الگوریتم CBIPSO و الگوریتم زنتیک،^[۲۴] برای سه مسئله‌ی نمونه‌ی ۹، ۱۰ و ۱۵۰ سهمی اجرا شده‌اند. الگوریتم‌ها در قالب کدهای MATLAB[®]، روی رایانه‌ی با ویژگی‌های Intel[®] ۱۰۲۴KB DDRII RAM، FSB ۵۳۳MHz Pentium[®] ۴۳۰GHz به اجرا درآمده‌اند. برای هر مسئله‌ی هر تنظیم خاص از پارامترها، الگوریتم‌ها ۲۰ بار اجرا شده‌اند. سپس نتایج آماری جواب‌های (ریسک‌های) حاصل از ۲۰ اجرای ثابت و مقایسه شده‌اند. برای الگوریتم زنتیک مطابق تنظیم‌های ثبت شده از دیگر مطالعات^[۲۵] تعداد تکرار ۱۰۰۰، اندازه‌ی جمعیت ۲۰ و نز جهش ۵٪ تعیین شده‌اند. در الگوریتم CBIPSO تعداد موقعیت‌های ممکن برابر با ۳۰۰۰ قرار داده شده است. همچنین نز جهش کاهشی از ۵٪ تا ۲۵٪ تغییر می‌کند.

اندازه‌ی جمعیت نیز برابر با ۲۰ قرار داده شده است.

نتایج حاصل از اجرای دو الگوریتم با استفاده از چند معیار مقایسه شده‌اند. بهترین (کم‌ترین) ریسک در میان ریسک‌های حاصل از چند بار اجرا الگوریتم برای حل مسئله، میانگین ریسک‌ها، انحراف معیار ریسک‌ها و میانگین زمان اجرای الگوریتم چهار معیار مقایسه دو روش بوده‌اند.

با مقادیر تنظیم‌شده‌ی فوق برای پارامترها، نتایج به دست آمده برای مسئله‌ی ۹ سهمی مطابق جدول‌های ۱ و ۲ هستند. تیجه‌های مقایسه‌ی این دو جدول را در جدول ۳ مشاهده می‌کنید. در این جدول، خانه‌هایی که در آنها کلمه‌ی «بهتر» مشاهده می‌شود، نشان‌دهنده‌ی این است که در شرایط آن خانه و براساس معیار سمت راست آن، الگوریتم CBIPSO بهتر از الگوریتم زنتیک عمل کرده است. بر عکس، در خانه‌هایی که کلمه‌ی «بدتر» دیده می‌شود عملکرد الگوریتم زنتیک،^[۲۶] بهتر از CBIPSO بوده است. با نگاهی کلی به این جدول به راحتی می‌توان دریافت که عملکرد کلی CBIPSO در این مسئله بهتر از الگوریتم زنتیک است. نمودار شکل ۴ میانگین ریسک‌ها و شکل ۵ زمان میانگین اجرا برای هر دو الگوریتم نشان می‌دهد.

در الگوریتم زنتیک،^[۲۶] مجموع نسبت‌های سرمایه‌گذاری همه‌ی جواب‌ها دقیقاً ۱ است. این امر لبته در CBIPSO برقرار نیست. در CBIPSO تعداد اجرای‌هایی که در نتیجه‌ی آن‌ها بودجه به‌طور کامل به سرمایه‌گذاری اختصاص می‌یابد (جمع نسبت‌های سرمایه‌گذاری برابر با ۱ می‌شود) کم است، اما تجربه نشان می‌دهد که در همه‌ی موارد بیش از ۹۷٪ سرمایه به امر سرمایه‌گذاری اختصاص یافته است.

$$v_{id}(t) = n_d w v_{id}(t-1) + c_{\gamma} r_{id} (p_{id} - x_{id}(t-1)) + c_{\gamma} r_{id} (p_{ld} - x_{id}(t-1)) \quad (32)$$

هر درایه‌ی بردار سرعت پس از محاسبه گرد می‌شود.^{۲۱} و ^{۲۲} برای هر ذره و هر بعد از رابطه‌ی ۳۳ معادل $rand(0, 5)$ به دست می‌آید^[۲۳] که در آن، عددی تصادفی در بازه‌ی [۰، ۱] است. پس از این، اگر سرعت از $V_{\max l_d}$ بیشتر یا از lbd_d کم‌تر باشد مقدار سرعت به سرعت‌های یادشده بازنگاه می‌شود. موقعیت نیز طبق رابطه‌ی ۱۳ به هنگام می‌شود. سپس بعدهای موقعیت با حددهای پایین و بالا ($ubdd$) مقایسه می‌شوند. چنانچه بعدی از موقعیت خارج از حددهای گفته شده فوارگیرد با کف یا سقف آن حد برابر می‌شود.

پس از این مرحله موقعیت‌ها براساس نز جهش، جهانده می‌شوند. رابطه‌های ۲۱ و ۲۲ ملاک اعمال جهش هستند. پس از اعمال جهش، بار دیگر بعدهای موقعیت با حددهای پایین و بالا ($ubdd$ و lbd_d) مقایسه و در صورت نیاز اصلاح می‌شوند. به این ترتیب برقراری محدودیت ۱۰ تضمین می‌شود. مراحل الگوریتم CBIPSO پیشنهادی عبارت است از:

۱. سرعت و موقعیت اولیه‌ی ذره‌ها را ایجاد کن؛

۲. مقدار تابع هدف را برای هر ذره محاسبه کن؛

۳. بهترین شخصی هر ذره را برابر با جمع تابع هدف محاسبه شده برای آن ذره و یک عدد بزرگ (N) فوارگیرد. بهترین کلی را برابر با جمع بیشترین مقدار تابع هدف محاسبه شده برای ذره‌ها و N فوارگیرد؛

۴. بردار موقعیت بهترین شخصی هر ذره را برابر با موقعیت اولیه فوارگیرد؛

۵. ضریب‌های نرمال‌سازی حرکت در فضای صحیح را طبق رابطه‌ی ۳۱ حساب کن؛

۶. مقدار تابع هدف را برای هر ذره محاسبه کن؛

۷. برای هر ذره اگر در ناحیه‌ی ممکن فوارگیرد، یعنی در همه‌ی رابطه‌های ۷ تا ۱۲ صدق می‌کند، تناسب را از رابطه‌ی ۲۳ محاسبه کن و شمارنده‌ی تعداد موقعیت‌های ممکن را یکی افزایش بده؛

۸. اگر ذره در ناحیه‌ی ناممکن فوارگیرد، یعنی دست‌کم یکی از شرط‌های ۷ تا ۱۲ را برآورده نمی‌کند، تناسب ذره را از رابطه‌ی ۲۷ محاسبه کن؛

۹. بهترین های شخصی ذره‌ها و بردار موقعیت آن‌ها را حساب کن؛

۱۰. بهترین کلی و بردار موقعیت بهترین کلی را به دست بیاور؛

۱۱. بیشترین تعداد زیرمجموعی‌ها، و به عبارت دیگر تعداد رهبران زیرمجموعی‌ها را از رابطه‌ی ۲۸ تعیین کن؛

۱۲. به تعداد تعیین شده در مرحله‌ی ۱۱، رهبران را که به ترتیب دارای کم‌ترین p_{best} هستند، مشخص و از جمعیت حذف کن؛

۱۳. زیرمجموعی‌ها را تشکیل بده؛

۱۴. وزن ماند نزولی را طبق فرمول ۲۹ حساب کن؛

۱۵. نز جهش را براساس رابطه‌ی ۳۰ تعیین کن؛

۱۶. سرعت و موقعیت دودویی را برای هر ذره به هنگام کن (طبق ۱۴)؛

جدول ۱ * نتایج اجرای CBIPSO برای مسئله‌ی ۹ سهمی: رابطه‌ی اندازه‌ی سبد و نرخ بهره‌ی مورد انتظار.

میانگین	۱۰	۹	۸	۷	نرخ بهره‌ی مورد انتظار << (%)	تعداد سهم‌ها در سبد
$7,33 \times 10^{-6}$	$1,49 \times 10^{-5}$	$5,23 \times 10^{-6}$	$8,49 \times 10^{-6}$	$1,49 \times 10^{-6}$	بهترین (کمترین) واریانس	
$0,035160$	$0,016081$	$8,30 \times 10^{-5}$	$0,001843$	$9,26 \times 10^{-5}$	میانگین واریانس‌ها	
$0,0088014$	$0,0038603$	$7,96 \times 10^{-5}$	$0,005363$	$0,000105$	انحراف معیار واریانس‌ها	
۱۹,۶۲۵	۲۰	۱۹	۲۰	۱۸	**	
۳۲,۷۷	۳۱,۹۰	۱۸,۷۴	۱۳,۹۶	۱۰,۶۶	زمان میانگین (ثانیه)	
۴۷۵۰	۴۳۷۶	۲۵۷۹	۲۰۵۳	۱۷۳۷	تعداد تکرار متوسط	

جدول ۲ * نتایج اجرای الگوریتم زنتیک [۲۴] برای مسئله‌ی ۹ سهمی: رابطه‌ی اندازه‌ی سبد و نرخ بهره‌ی مورد انتظار.

میانگین	۱۰	۹	۸	۷	نرخ بهره‌ی مورد انتظار << (%)	تعداد سهم‌ها در سبد
$0,021274$	$0,010647$	$0,0037854$	$0,0040197$	$0,058577$	بهترین (کمترین) واریانس	
$0,366138$	$0,368704$	$0,368512$	$0,3772497$	$0,278627$	میانگین واریانس‌ها	
$0,293229$	$0,374023$	$0,300474$	$0,294319$	$0,215432$	انحراف معیار واریانس‌ها	
۲۰	۲۰	۲۰	۲۰	۲۰	**	
۳۶۲,۵۴	۱۵۰,۱۸	۷۶,۶۸	۴۷,۳۷	۳۴,۴۳	زمان میانگین (ثانیه)	
۱۰۰۰	۱۰۰۰	۱۰۰۰	۱۰۰۰	۱۰۰۰	تعداد تکرار متوسط	

جدول ۳ * مقایسه‌ی نتایج اجرای دو الگوریتم برای مسئله‌ی ۹ سهمی (مقایسه‌ی جدول‌های ۱ و ۲).

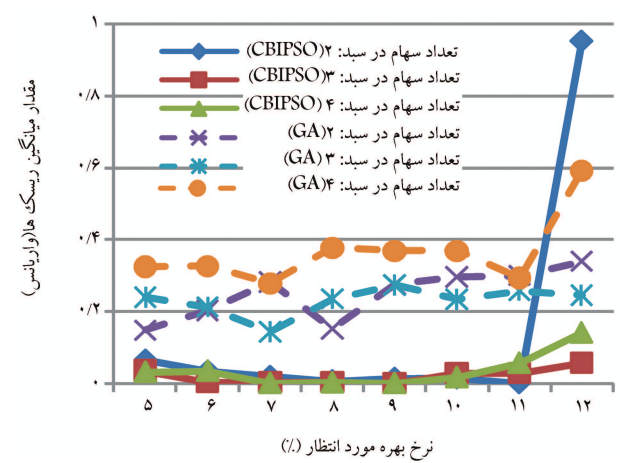
میانگین	۱۰	۹	۸	۷	نرخ بهره‌ی مورد انتظار << (%)	تعداد سهم‌ها در سبد
بهتر	بهتر	بهتر	بهتر	بهتر	بهترین (کمترین) واریانس	
بهتر	بهتر	بهتر	بهتر	بهتر	میانگین واریانس‌ها	
بهتر	بهتر	بهتر	بهتر	بهتر	انحراف معیار واریانس‌ها	
بدتر	بدتر	بدتر	بدتر	بدتر	**	
بهتر	بهتر	بهتر	بهتر	بهتر	زمان میانگین (ثانیه)	

* اطلاعات جداول ۱ تا ۳ مختصر شده‌اند. جداول کامل‌تر را می‌توان در منبع [۲۶] مشاهده کرد. همچنین اطلاعات

فوق بر مبنای ۲۰ اجرا تهیه شده است و بودجه تخصیص یافته در جواب‌ها بیش از ۹۹٪ می‌باشد.

در این تحقیق، با نگاهی سخت‌گیرانه‌تر، تعداد مواردی که در ۲۰ اجرا بیش از ۹۹٪ در میانگین را تخصیص دهنده شمارش شده‌اند. نکته‌ی مهم در جدول ۳ این است که تعداد تکرار، معیاری برای مقایسه‌ی دو الگوریتم قرار نگرفته است و این طبیعی است، زیرا تعداد تکرار در ارتباط با زمان اجرا اهمیت می‌یابد که در قسمت «زمان میانگین» این مقایسه صورت گرفته است. از طرفی، با توجه به تقاضات‌های ماهوی دو الگوریتم، تعداد تکرار در آن‌ها دارای مفهوم یکسان نیست.

با بررسی نتایج در جدول‌های ۱ و ۲ در میانیم که بهترین ریسک به دست آمده به وسیله‌ی CBIPSO از مرتبه^{-۶} ۱۰ است. در حالی که بهترین ریسک‌ها در الگوریتم زنتیک از مرتبه^{-۳} ۱۰ و^{-۲} ۱۰ هستند. بنابراین، CBIPSO قادر است به پاسخ‌های بسیار بهتری دست یابد. همچنین از لحاظ «میانگین ریسک‌ها» نیز (به جز یک مورد) عملکرد CBIPSO به طرز چشمگری بهتر بوده است. این امر در نمودار شکل ۴ به روشنی پیداست. به طور کلی (با صرف نظر کردن از یک مورد استثنای) انحراف معیار ریسک‌های CBIPSO کمتر از الگوریتم زنتیک است که حاکی از ثبات^{۲۲} و تکرار پذیری بیشتر در جواب‌های به دست آمده از روش CBIPSO است.



شکل ۴. میانگین ریسک‌ها برای مسئله‌ی ۹ سهمی؛ خط‌های پر مربوط به الگوریتم CBIPSO و خط‌چین‌ها مربوط به الگوریتم زنتیک‌اند.

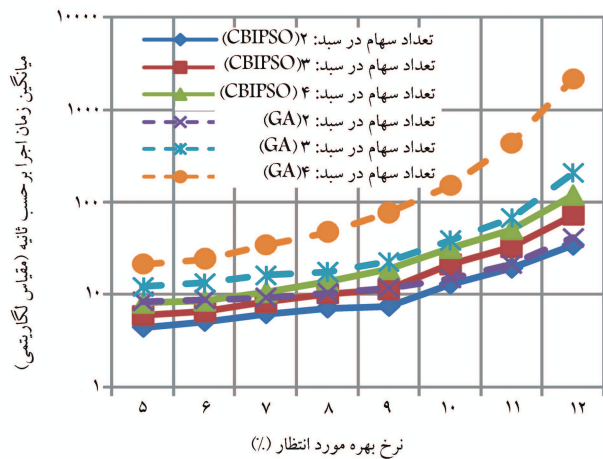
می خورد که طی آنها CBIPSO توانسته است همانند الگوریتم ژنتیک در ۲۰ اجرای متواتی همه‌ی بودجه را به سرمایه‌گذاری اختصاص دهد. بنابراین، می‌توان انتظار داشت که اگر پارامترهای CBIPSO به تناسب مسئله‌ی مقدارداده شوند، این نتیجه‌گیری CBIPSO نیز پرطرف نشود.

۲.۵. تحلیل حساسیت و تنظیم یارامته‌ها

یافتن تنظیم بهینه‌ی پارامترها و متغیرهای الگوریتم و مسئله، خود مسئله‌ی بهینه‌سازی دیگر است. در این تحقیق با دو دسته پارامتر مواجه هستیم: پارامترهای الگوریتم و پارامترهای مسئله. پارامترهای الگوریتم عبارت‌اند از پارامترهایی که جدا از مسئله و دستاوردهای فلسفه‌ی نهفته در الگوریتم اند (مانند w_{\max} , w_{\min} , r_1 , r_2 , c_1 , c_2 و ...). پارامترهای مسئله مقدارهایی هستند که ویژگی‌های مسئله را نشان نخواهند چشید. کمینه بهره‌ی مورد انتظار و امثال آن ... تعدادی از مقادیرهای الگوریتم، عطف به تجربیات گذشته و آنچه در بخش ۳ آمده است، مقدارهای شده‌اند. مثلاً $w_{\min} = ۰, ۴$, $w_{\max} = ۱, ۵$, $c_1 = c_2 = ۱, ۴۹۶$. نخواهند چشید از $۰, ۵$ تا $۰, ۵$ مقدار نصف آن یعنی $۰, ۲۵$ به طور نزولی تغییر می‌کند. مناسب بودن مقدار $۰, ۵$ برای CBIPSO در مقالات متعددی گزارش شده است. به طور تجزیبی و براساس سعی و خطا، حد بالای سرعت برای قسمت صحیح ($V_{\max} J_d$) برابر با $\lceil \frac{۱}{۴} \rceil$ و برای قسمت دودوبی ($V_{\max} B_d$) برابر با $\lceil \frac{۱۲}{۷} \rceil$ (برابر با $\lceil \frac{۱۲}{۷} \rceil$) قرار داده شده‌اند.

برای تعیین مقدار بھینه‌ی پارامترهای مسئله، چند پارامتر دوبه دو تغییر داده شده و نتایج حاصل از اجرای الگوریتم با مقدارهای تئوریمی، ثبت و تحلیل شده‌اند. براساس این تحلیل، مقدارهای نسبتاً مناسب و کارآمد برای پارامترهای مورد آزمایش را استخراج؛ و حساسیت عملکرد الگوریتم CBIPSO را نیز نسبت به تغییر پارامترهای مختلف سنجیده‌ایم. پارامترهای مورد آزمایش عبارت‌اند از: اندازه‌ی مسئله (تعداد سهم‌های در دسترس)، اندازه‌ی سبید، کمینه نرخ بهره‌ی مورد انتظار، اندازه‌ی جمعیت و بیشترین تعداد ذره‌های ممکن. از این پنج پارامتر سه پارامتر نخست مربوط به مسئله و دو پارامتر آخر پارامترهای الگوریتم‌اند. معیارهای سنجش عملکرد CBIPSO مانندگی، سک‌ها و مانگ‌ها هستند: احرا، الگ، تمه هستند.

آزمایش‌ها نشان داده‌اند که بزرگ‌ترشیدن مسکله (افزایش تعداد سهم‌های در دسترس) و نیز افزایش نرخ بهره‌ی مورد انتظار به‌طور کلی منجر به بزرگ‌تر شدن ریسک نهایی می‌شود. همین شرایط برای زمان اجرای الگوریتم برقرار است. به عبارت دیگر، برای رسیدن به جواب در مسکله‌های بزرگ‌تر باید زمان بیشتری صرف کرد که این امری است طبیعی. با افزایش اندازه‌ی جمعیت، میانگین ریسک‌ها علاوه بر آن که کاهش می‌باشد نسبت به تغییر در اندازه‌ی سبد نیز مقاوم‌تر می‌شود؛ یعنی نوسان آن نسبت به تغییر اندازه‌ی سبد کم می‌شود. این مطلب برای زمان اجرای الگوریتم



شکل ۵. میانگین زمان برای مسئله‌ی ۹ سهی؛ خط‌های پر مربوط به الگوریتم CBIPSO و خط‌چین‌ها مربوط به الگوریتم ژنتیک‌اند. برای تشریک بین خط‌ها در محور عمودی از مقیاس لگاریتمی استفاده شده است.

«زمان میانگین» دست‌یابی به جواب نیز یکی از دو عامل مهمی است که در کنار عامل «میانگین ریسک‌ها» معیار اصلی سنجش الگوریتم‌ها را تشکیل می‌دهد. به خوبی پیداست که CBIPSO در مدت زمان کمتری می‌تواند جواب‌های بهتری را ارائه کند.

مشابه جدول ۳، مقایسه‌یی بین دو الگوریتم برای مستانه‌ی ۱۵۰ سهمی [۶] صورت پذیرفته است. در آزمایش‌های صورت‌گرفته مشخص شد که الگوریتم ژنتیک گاهی در عمل نمی‌تواند اجرا را به پایان برساند و باصطلاح «گیر» می‌کند. گمان می‌رود زمان ماندن در این وضعیت بی‌نهایت باشد، زیرا دستکم برای ۱۰ ساعت تحت آزمایش قرار گرفته است. در اینجا این وضعیت، «وضعیت گیر» الگوریتم ژنتیک نامیده می‌شود. احتمال وقوع وضعیت گیر در برخی از حالت‌ها افزایش می‌یابد به‌گونه‌یی که با چندین بار سعی مجدد نیز الگوریتم ژنتیک قادر به تکمیل ۲۰ اجرای متولی نیست. در این حالت‌ها، البته الگوریتم CBIPSO قادر به ارائه جواب به‌ده است.

برای مسئله‌ی ۳۰ سهمی و با شرط ۲۰ اجرای متواالی، الگوریتم رتیک برای تمام حالت‌ها در وضعیت گیر قرارگرفته و بنابراین، امکان دست یافتن به تابع مناسب برای مقایسه‌ی دو الگوریتم در زمان معقول فراهم نشد. سایر تنظیم‌ها از قبیل نجّف جهش، اندازه‌ی جمعیت و تعداد تکرار مقداردهی شده‌اند.^[۲۴]

مقایسه‌ی دو الگوریتم براساس معیارهای مختلف در جدول ۴ خلاصه شده است. چنان‌که مشاهده می‌شود CBIPSO فقط در تخصیص کل بودجه به سرمایه‌گذاری بدتر از الگوریتم رتیک عمل می‌کند. در جدول ۱ چند مورد به جسم

[٤] خلاصة قرار الگمانی CBIPSO در ۲۰۱۷

الگوریتم ثنتیک	الگوریتم CBIPSO	
کمتر	بیشتر	سرعت
بدتر (ریسک کمتر)	بهتر (ریسک کمتر)	چواب
% ۱۰۰	% ۹۷	تخصیص بودجه
احتمال آن هست	نadar	وضعیت کیفر
باید در تابعیه ممکن قرار ندارد	لزوماً در تابعیه ممکن قرار ندارد	جمعیت اولیه
کمتر (انحراف معیار چوابها بیشتر)	بیشتر (انحراف معیار چوابها کمتر)	ثبات و تکرار ندیزی جوابها

متفاوت مسئله، سبد و نزدیکی مورد انتظار می‌توان از الگوریتم CBIPSO ثبات مناسبی توقع داشت.

۶. نتیجه‌گیری

الگوریتم PSO مبنای خوبی برای حل مسائل پیچیده و ترکیبی است، اما CBIPSO به عنوان شیوه‌ی گسترش بافتی این الگوریتم پیشنهاد و معروفی شد. برای مسئله‌ی انتخاب سبد سهام طبق مدلی که ارائه شد، CBIPSO برتری خود را نسبت به الگوریتم زنیک نشان داد. در برخی موارد فاصله‌ی برتری CBIPSO از الگوریتم زنیک زیاد و چشمگیر و در مواردی دیگر این فاصله نزدیک‌تر است. نتایج به کارگیری CBIPSO در حل مسئله‌ی انتخاب سبد سهام، که مسئله‌ی نسبتاً پیچیده به شمار می‌آید، نشان می‌دهد که از یکسو PSO هنوز رازهای نهفته‌ی دارد و می‌تواند در ابعاد گوناگونی گسترش یابد، و از سوی دیگر حل مسئله‌ی انتخاب سبد سهام در ابعاد واقعی و بالحاظ محدودیت‌های بازار، با استفاده از این روش بسیار مؤثر خواهد بود. نتایج حاصل از تحلیل حساسیت نیز نشان داد که اغلب پارامترهای CBIPSO را می‌توان به سادگی و براساس تجربیات گذشته در گونه‌های مختلف PSO که برای طیف وسیعی از مسائل مورد آزمایش قرار گرفته‌اند تنظیم کرد.

صادق نیست، افزایش اندازه‌ی جمعیت ضمن افزودن بر زمان اجرا، آن را نسبت به تعداد سهم‌های درون سبد حساس‌تر می‌کند. چنین به نظر می‌رسد که با توجه به ماهیت محاسبات موازی در CBIPSO، افزایش تعداد ذره‌ها باید بر سرعت آن بیفزاید. اما در یک برنامه‌ی رایانه‌ی، شیوه‌سازی الگوریتم با محاسبات متوالی انجام می‌شود و عملاً ذره‌ها یا عامل‌هایی^{۲۴} که مستقل از یکدیگر و هم‌زمان با هم به محاسبه پردازنند، به‌طور کامل وجود ندارند. از طرفی، کارهایی نظری مقداردهی اولیه می‌تواند در افزایش زمان اجرای الگوریتم پر جمعیت‌تر مؤثر باشد. روشن شده است که عدد ۲۰ برای اندازه‌ی جمعیت مناسب است. برای تعداد موقعیت‌های ممکن بیش از ۳۰۰۰، به‌طور کلی تأثیر مهمی در جواب میانگین ظاهر نمی‌شود اما، بالطبع زمان اجرا زیاد می‌شود. تعداد موقعیت‌های ممکن ۳۰۰۰، مقداری نسبتاً مناسب است.

۳.۵ ثبات

نتایج نشان داده‌اند که متوسط انحراف معیار ریسک‌های CBIPSO (با معیار واریانس) به‌طور کلی از مرتبه^{-۱} ۱۰٪ و سقف آن فقط ۱٪ است. این مطلب نشان می‌دهد که ریسک‌های به دست آمده از اجرای چندباره‌ی الگوریتم برای شرایط خاص، نوسان کمی داشته و ثبات و تکرارپذیری آن بالاست. بنابراین برای اندازه‌های

منابع

- combined binary and improved particle swarm optimization
- mixed-integer quadratic programming (MIQP) problem
- non-dominated sorting genetic algorithm II
- turnover
- trading constraint
- multi-objective evolutionary algorithm (MOEA)
- این محدودیت ناشی از قوانین سرمایه‌گذاری کشور آلمان است: مقدار دارایی‌های مالی که از یک مصدر صادر می‌شوند، باید حداقل ۷.۵٪ ارزش خالص دارایی سهام شرکت سرمایه‌گذاری مشاع باشند؛ این مقدار می‌تواند تا ۱۰٪ باشد چنانچه، مجموع همه‌ی این دارایی‌ها کمتر از ۴٪ ارزش خالص دارایی باشد.
- index tracking or sharpe's single factor model
- asset allocation problem
- reliability methods
- برای دریافت توضیح کاملی از مدل Markowitz و روش خط بحرانی به مرجع ۱ مراجعه کنید.
- market or sector capitalization
- classification
- sector
- class constraint
- particle swarm optimization
- position
- personal best
- global best
- core leader
- combined binary and improved particle swarm optimization
- stability
- نشانه‌ی جزء صحیح یا کف عدد حقیقی x است.
- Agent

- Markowitz, H.M. "Portfolio selection", *The Journal of Finance*, 7, pp. 77-91, (March 1952).
- Markowitz, H.M., *Portfolio Selection: Efficient Diversification of Investments*, New York: Wiley (1959).
- Sharpe, W.F., "A simplified model for portfolio analysis", *Management Science*, 9, pp. 277-293 (1963).
- Mansini, R and Speranza, M. "Heuristic algorithms for the portfolio selection problem with minimum transaction lots", *European Journal of Operational Research*, 114, pp. 219-233 (1999).
- Mulvey, J.M. and Vladimirov, H. "Stochastic network programming for financial planning problems" *Management Science*, 38, pp. 1642-1664 (1992).
- Loraschi, A., et al., *Distributed Genetic Algorithms with an Application To Portfolio Selection*, Berlin: Springer Verlag, pp. 384-387 (1995), Proceedings of the International Conference on Artificial Neural Networks and Genetic Algorithms (ICANNG A95).
- Shoaf, J.S. and Foster, J.A., *A Genetic Algorithm Solution to the Efficient Set Problem: A Technique for Portfolio Selection Based on the Markowitz Model*, Dept. of Computer Science, Univ. of Idaho, Moscow: s.n., (1995). Technical Report TR-LAL-96-04.
- Glover, F.; Mulvey, J.M. and Hoyland, K. *Solving Dynamic Stochastic Control Problems in Finance Using Tabu Search with Variable Scaling*, Meta-heuristics: theory & application, Springer, pp. 429-448 (1996).

9. Yoshimoto, A. "The mean-variance approach to portfolio optimization subject to transaction costs. 1", *Journal of Operations Research Society of Japan*, **15**, pp. 99-117 (1996).
10. Rolland, E., *A Tabu Search Method for Constrained Real-Number Search: Applications to Portfolio Selection*, Dept. of Accounting & Management Information Systems, Ohio State University, Columbus: s.n. (1996).
11. Chang, T.J., et al., "Heuristics for cardinality constrained portfolio optimisation", *Computers & Operations Research*, Elsevier Science Ltd., **27**, pp. 1271-1302 (2000).
12. Busetti, F.R., *Metaheuristic Approaches to Realistic Portfolio Optimization*, Ms Degree Dissertation, University of South Africa (2000).
13. Jobst, N.J., et al., "Computational aspects of alternative portfolio selection models in the presence of discrete asset choice constraints", *Quantitative Finance*, **1**, pp. 489-501, Institute of Physics Publishing, (2001).
14. Schaerf, A. "Local search techniques for constrained portfolio selection problems", *Computational Economics*, **20**, pp. 177-190, Springer Netherlands, (December 2002).
15. Kellerer, H. and Maringer, D., *Optimization of Cardinality Constrained Portfolios with an Hybrid Local Search Algorithm*, Porto, Portugal: s.n., MIC'2001 - 4th Metaheuristics International Conference, pp. 585-589 (2001).
16. Lin, D. and Wang, S. "A genetic algorithm for portfolio selection problems", *Advanced Modeling and Optimization*, **4**, pp. 13-27 (2002).
17. Crama, Y. and Schyns, M., "Simulated annealing for complex portfolio selection problems", Elsevier B.V., *European Journal of Operational Research*, **150**, pp. 546-571 (2003).
18. Fieldsend, J.E.; Matatko, J. and Peng, M. "Cardinality constrained portfolio optimisation", *Intelligent Data Engineering and Automated Learning IDEAL*, Berlin/Heidelberg Springer, **3177**, pp. 788-793 (2004).
19. Streichert, F.; Ulmer, H. and Zell, A., *Evolutionary Algorithms and the Cardinality Constrained Portfolio Optimization Problem*, Operations research proceedings 2003: selected papers of the International Conference on Operations Research (OR 2003), Heidleberg, September 3-5, 2003, Heidleberg, pp. 253-260 (Springer 2004).
20. Streichert, F.; Ulmer, H. and Zell, A. "Evaluating a hybrid encoding and three crossover operators on the constrained portfolio selection problem", IEEE, *Proceedings of the Congress on Evolutionary Computation (CEC2004)*, **1**, pp. 932-939 (2004).
21. Streichert, F.; Ulmer, H. and Zell, A. "Comparing discrete and continuous genotypes on the constrained portfolio selection problem", *Genetic and Evolutionary Computation - GECCO Berlin/Heidelberg*, **3103**, pp. 1239-1250 (Springer 2004).
22. Stein, M. ; Branke, J. and Schmeck, H., *Portfolio Selection: How to Integrate Complex Constraints*, (2005).
23. Oh, K.J., et al. "Portfolio algorithm based on portfolio beta using genetic algorithm", *Expert Systems with Applications*, Elsevier Ltd., **30**, pp. 527-534 (2006).
24. Soleimani, H., *Portfolio Selection Using Genetic Algorithm*, Industrial Engineering Department, Amirkabir Univ. of Tech., MS Thesis, Supervisors: Golmakani H.R., Salimi Namin, M.H. (2007).
25. Soleimani, H.; Golmakani, H.R. and Salimi, M.H., "Markowitz-based portfolio selection with minimum transaction lots, cardinality constraints and regarding sector capitalization using genetic algorithm", *Expert Systems with Applications*, Elsevier Ltd., **36**, pp. 5058-5063 (April 2009).
26. Zhang, W.G.; Chen, W. and Wang, Y.L. "The adaptive genetic algorithms for portfolio selection problem", *IJCSNS International Journal of Computer Science and Network Security*, **6**, pp. 196-200 (January 2006).
27. Lin, C.C. and Liu, Y.T. "Genetic algorithms for portfolio selection problems with minimum transaction lots", Elsevier B.V., *European Journal of Operational Research*, **185**, pp. 393-404 (2007).
28. Fernandez, A. and Gomez, S. "Portfolio selection using neural networks", Elsevier Ltd., *Computers & Operations Research*, **34**, pp. 1177-1191 (2007).
29. Xu, F.a.; Chen, W. and Yang, L., "Improved particle swarm optimization for realistic portfolio selection", IEEE Computer Society, Eighth ACIS International Conference on Software Engineering, Artificial Intelligence, Networking, and Parallel/Distributed Computing, pp. 185-190 (2007).
30. Golmakani, H.R. and Jalilipour Alishah, E., "Portfolio selection using an artificial Immune system", Las Vegas: IEEE, IRI 2008 (Information Reuse Integration), pp. 28-33 (2008).
31. Hanafizadeh, P. and Ponnambalam, K. "Asset allocation using reliability method", Elsevier Ltd., *Mathematical and Computer Modelling*, **50**, pp. 21-31 (2009).
32. Elbeltagi, E.; Hegazy, T. and Grierson, D. "Comparison among five evolutionary-based optimization algorithms", *Advanced Engineering Informatics*, **19**, pp. 43-53 (2005).
33. Hassan, R.; Cohenim, B. and de Weck, O., *A Comparison of Particle Swarm Optimization and the Genetic Algorithm*, In Proceedings of the 46th AIAA/ASME/ASCE/AHS/ASC Structures, Structural Dynamics and Materials Conference (2005).
34. Mansini, R. and Speranza, M.G. "An exact approach for portfolio selection with transaction costs and round", *IIE Transactions*, **37**, pp. 919-929, (2005), ISSN 1545-8830 online.
35. Kennedy, J. and Eberhart, R. "Particle swarm optimization", IEEE, Proceeding of International Conference on Neural Networks, pp. 1942-1948, (1995), 0-7803-2768-3.
36. Kennedy, J. and Eberhart, R. "A new optimizer using particle swarm theory", IEEE, *Sixth International Symposium on Micro Machine and Human Science*, pp. 39-43, (1995), 0-7803-2676-8.
37. Kennedy, J. "The particle swarm: Social adaptation of knowledge", IEEE, pp. 303-308 (1997).
38. Shi, Y. and Eberhart, R. "A modified particle swarm optimizer", IEEE, pp. 69-73 (1998).
39. Li, X.E. and Andries, P., *Particle Swarm Optimization: an Introduction and its Recent Developments (A tutorial)*, London: ACM, GECCO'07, pp. 3391-3414 (2007).

40. Kennedy, J. and Eberhart, R. "A discrete binary version of particle swarm algorithm", *IEEE*, pp. 4104-4108 (1997), 0-7803-4053-1.
41. Coath, G. and Halgamuge, S.K. "A comparison of constraint-handling methods for the application of particle swarm optimization to constrained nonlinear optimization problems", *IEEE*, pp. 2419-2425 (2003), 0-7803-7804-0.
42. Zheng, J.; Wu, Q. and Song, W. "An improved particle swarm algorithm for solving nonlinear constrained optimization problems", *IEEE-Computer Society*, Third International Conference on Natural Computation (ICNC 2007), 0-7695-2875-9.
43. Pulido, G.T. and Coello Coello, C.A. "A constraint-handling mechanism for particle swarm optimization", *IEEE*, pp. 1396-1403, (2004), 0-7803-8515-2.
44. Eberhart, R.C. and Shi, Y. "Comparing inertia weights and constriction factors in particle swarm optimization", *IEEE*, pp. 84-88, (2000), 0-7803-6375-2.
45. Coello Coello, C.A.; Pulido, G.T. and Lechuga, M.S. "Handling multiple objectives with particle swarm optimization", *IEEE, Transactions on Evolutionary Computation*, **8**, pp. 256-279, (June 2004), 1089-778X.
46. Fazel, M., *Portfolio Selection Using Particle Swarm Optimization*, Industrial Engineering Department, Tafresh Univ., MS Thesis, Supervisor: Golmakani, Hamid Reza (2009).

